



UNIVERSIDADE DO MINHO
MESTRADO EM ENGENHARIA INFORMÁTICA
PERFIL DE SISTEMAS INTELIGENTES
SENSORIZAÇÃO E AMBIENTE

Rui Moreira (PG50736)
Bernardo Saraiva (PG50259)
José Gonçalves (PG50519)
18 de Março de 2023

SISTEMA DE DETEÇÃO DE QUEDAS

Conteúdo

1	Introdução	3
2	Contextualização e Objetivos	4
3	Recolha de Dados	5
4	Modelo Machine Learning	8
4.1	Tratamento de Dados	8
4.2	Visualização dos Dados	9
4.3	Arquitetura do Modelo concebido	10
5	Aplicação Final	12
6	Análise crítica aos Resultados obtidos	14
7	Conclusão	16

Capítulo 1

Introdução

O seguinte projeto foi desenvolvido no âmbito da Unidade Curricular de Sensorização e Ambiente, constituinte do perfil de Sistemas Inteligentes, onde a principal motivação foi implementar um sistema de sensorização, tirando partido da integração de sensores físicos e/ou virtuais, focando em domínios emergentes como a Sensorização Móvel, a Computação Humanizada e as Cidades Inteligentes. Este sistema desenvolvido deve ser capaz de obter dados e gerar informação útil no contexto do ambiente onde se encontra inserido.

Naturalmente, existem inúmeros problemas nos grandes centros urbanos, muitos destes, relacionados com saúde e bem-estar da população. Nos últimos anos, a preocupação com a segurança e bem-estar dos idosos e pessoas com mobilidade reduzida tem aumentado significativamente. As quedas são uma das principais causas de lesões graves nesses grupos e podem ter consequências físicas e psicológicas graves.

Tendo isto em conta, neste trabalho prático pretende-se desenvolver um sistema de deteção de quedas que possa fornecer tranquilidade e segurança tanto para os utilizadores quanto para seus familiares e cuidadores, permitindo que a pessoa continue a viver de forma independente, com a certeza de que há um suporte disponível em caso de necessidade.

Capítulo 2

Contextualização e Objetivos

Atualmente, grande parte da população possui *smartphones* ou qualquer outro tipo de dispositivos móveis modernos, o que se traduz em dispositivos mais completos e com maior quantidade de sensores, para além de mais precisos. Deste modo, um dos grandes objetivos passa por tirar o melhor proveito destes sensores no uso quotidiano dos dispositivos.

Uma aplicação móvel de deteção de quedas é uma solução tecnológica projetada para monitorizar movimentos e identificar quedas em tempo real por meio de sensores embutidos em dispositivos móveis como *smartphones* ou *smartwatches*, aproveitando os acelerómetros, giroscópios e outros sensores presentes nos dispositivos móveis para identificar padrões de movimento característicos de uma queda. Esta tecnologia tem como objetivo proporcionar segurança e assistência imediata em casos de acidentes. Ao detetar uma queda, a aplicação móvel aciona um alerta e efetua uma chamada de emergência automática para o serviço nacional de socorro. Essa solução é acessível e fácil de usar, pois aproveita os dispositivos móveis que a maioria dos cidadãos já possuem. Com a deteção e resposta rápida a quedas, a aplicação móvel contribui para a segurança e tranquilidade dos utilizadores, proporcionando uma intervenção médica imediata em casos de emergência.

Para isto é preciso, inicialmente, recolher dados para construir um modelo eficaz, para ser importado numa aplicação final com este objetivo.

Capítulo 3

Recolha de Dados

Nesta fase inicial de recolha dos dados, foi importante decidir quais os dados mais relevantes a coletar num contexto de deteção de quedas. Após uma breve pesquisa, o grupo chegou à conclusão que seriam os dados provenientes de 3 sensores, **acelerómetro**, **giroscópio** e **magnetómetro**, que dariam origem a 3 tipos:

- **AccelerometerData** - contém 5 campos (*id*, *valuex*, *valuey*, *valuez* e *accuracy*)
- **GyroscopicData** - contém 4 campos (*id*, *valuex*, *valuey* e *valuez*)
- **OrientationData** - contém 4 campos (*id*, *valuex*, *valuey* e *valuez*). Estes dados são obtidos através dos sensores acelerómetro e magnetómetro da seguinte maneira:

Primeiro obtém-se *rotationMatrix* através da função *SensorManager.getRotationMatrix* que recebe como argumentos os dados do acelerómetro e magnetómetro.

Após isto, aplicou-se a função *SensorManager.getOrientation* que recebe como argumento a *rotationMatrix*, e devolve os valores *azimuth*, *pitch* e *roll* (colocados no *OrientationData* como '*valuex*', '*valuey*', '*valuez*' respetivamente) .

De modo a perceber estes últimos valores do *OrientationData*, apresenta-se na figura 3.1 uma ilustração das coordenadas utilizadas na orientação.

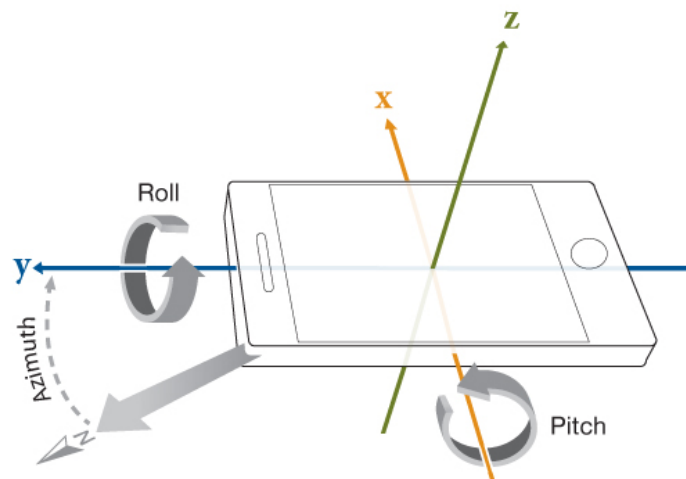


Figura 3.1: Figura explicativa das coordenadas utilizadas para orientação

Para recolher os dados, decidiu-se produzir uma aplicação *Android* onde isto fosse possível e ainda, armazená-los numa *CloudStore* no *Firebase*.

O resultado final desta aplicação é apresentado abaixo.

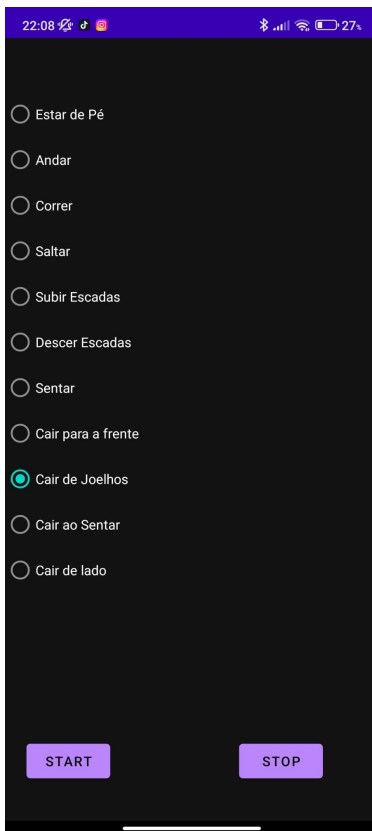


Figura 3.2: App Recolha de Dados

Como é possível ver na Figura acima ,3.2, esta aplicação tem 9 botões que permite ao utilizador seleccionar a *label* dos dados que vai recolher. As *labels* escolhidas foram as seguintes:

- Estar de pé - STD (*Standing*)
- Andar - WAL (*Walking*)
- Correr - JOG (*Jogging*)
- Saltar - JUM (*Jumping*)
- Subir escadas - STU (*Stairs up*)
- Descer escadas - STN (*Stairs down*)
- Sentar - CH (*Sit chair*)
- Cair para a frente - FOL (*Fall forward lying*)
- Cair de joelhos - FKL (*Fall front knees lying*)
- Cair ao sentar - BSC (*Back-sitting-chair*)
- Cair de lado - SDL (*Sideward lying*)

Decidiu-se adotar as 9 *labels* apresentadas acima para, posteriormente, tentar incorporar um *dataset* externo (que continha, entre outras, estas *labels*) com o objetivo de ter mais dados para treinar o modelo de *machine learning*, que será detalhado mais à frente no relatório na secção 4.1.

A *app* contém ainda dois botões com nomes muito intuitivos, um de '*start*' para iniciar a recolha de dados e outro de '*stop*' para parar.

Nesta fase inicial de recolha de dados, 3 utilizadores utilizaram esta aplicação e recolheram dados 5 vezes para cada *label* (durante, aproximadamente, 10 segundos), dando no total, 135 testes (3x5x9).

Capítulo 4

Modelo Machine Learning

De modo a permitir o desenvolvimento de um modelo suficientemente capaz de prever quedas, foram utilizadas técnicas de *Machine Learning* que permitem treinar e aprimorar o modelo, de forma a que a eficácia seja tão elevada quanto possível para que o Sistema de Detecção de Quedas possa ser fiável.

4.1 Tratamento de Dados

Após recolhidos os dados, tal como explicado no capítulo 3, exportou-se os dados guardados no *Firebase* para um ficheiro *json*. Posteriormente, através de um *script python*, converteu-se estes dados num ficheiro *csv* já com as colunas pretendidas para o *Dataset*:

- **testId**: Identificador do número correspondente ao teste que um dado registo foi obtido
- **sampleNo**: Valor correspondente ao número de sequência de um teste
- **acc_x**: Valor correspondente ao eixo do x do acelerómetro
- **acc_y**: Valor correspondente ao eixo do y do acelerómetro
- **acc_z**: Valor correspondente ao eixo do z do acelerómetro
- **gyro_x**: Valor correspondente ao eixo do x do giroscópio
- **gyro_y**: Valor correspondente ao eixo do y do giroscópio
- **gyro_z**: Valor correspondente ao eixo do z do giroscópio
- **azimuth**: Coordenada esférica relativa à orientação do dispositivo
- **pitch**: Coordenada esférica relativa à orientação do dispositivo
- **roll**: Coordenada esférica relativa à orientação do dispositivo
- **label**: Campo correspondente ao tipo de atividade, em que é atribuída uma label dependendo da atividade registada

De modo a alcançar um modelo mais eficaz, procurou-se complementar os dados recolhidos com os de um novo, chamado Dataset Mobifall. Deste modo, procurou-se atribuir mais observações ao modelo, tornando-o mais generalizável e robusto.

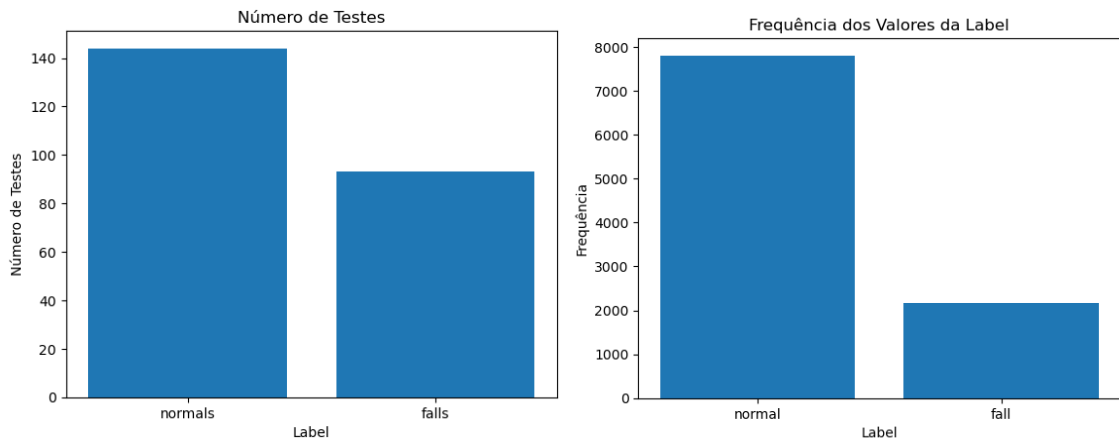
Este dataset, que inicialmente vinha em vários ficheiros com as diferentes labels, foi trabalhado de modo a que se apresentasse em um único *dataset* com o mesmo formato do que foi gerado através dos dados recolhidos.

Porém com a junção deste *dataset* aos dados recolhidos pelo grupo, o modelo acabou por não reproduzir os melhores resultados. Isto pode ser explicado, pelo facto de existir uma grande diferença entre os sensores utilizados em ambos os testes. O modelo desenvolvido com estes dados revelava bons resultados para os dados do *dataset* externo, porém, quando testado com os dados recolhidos pelo grupo, produziu péssimos resultados, obtendo uma *accuracy* inferior a 20%.

Assim, acabou-se por descartar este *dataset* externo e recolher mais alguns dados para fortalecer o modelo. Além disto, posteriormente, para tornar mais simples o treino do modelo, converteu-se as 9 *labels* em apenas 2: *Fall* e *Normal*.

4.2 Visualização dos Dados

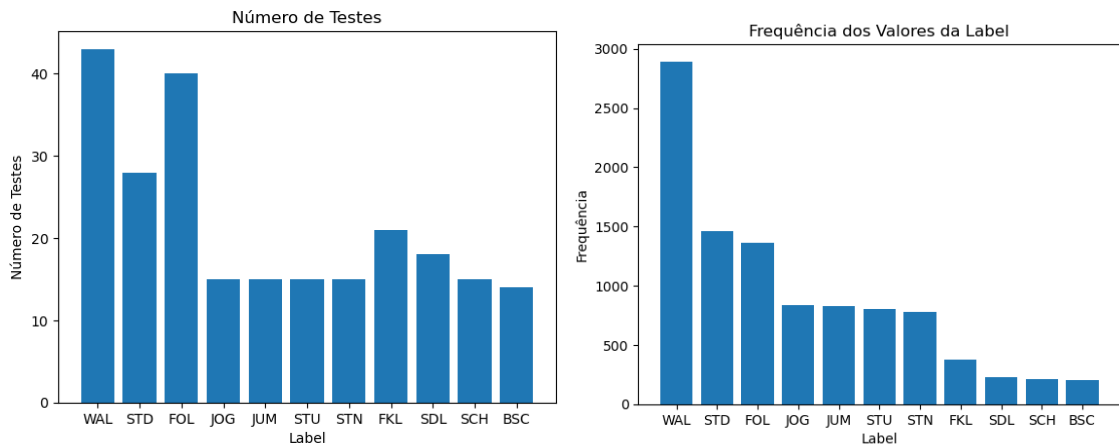
De modo a permitir uma percepção estatística dos dados utilizados, foram aplicadas algumas técnicas de visualização, as quais serão demonstradas e explicadas em seguida.



(a) N^o de testes para cada uma das *labels*

(b) Quantidade de Dados para cada uma das *labels*

Figura 4.1



(a) N^o de testes para cada tipo de atividade

(b) Quantidade de testes para cada tipo de atividade

Figura 4.2

Com o objetivo de verificar a quantidade de testes efetuados para cada *label*, foi gerado o gráfico da Figura 4.1a, que indica que o número de testes classificados como *fall* foi cerca de 90,

e o número de testes classificados como *normal* foi cerca de 145, estando assim o modelo mais familiarizado com atividades normais.

Pela análise à Figura 4.1b e 4.2b, é possível concluir que cada teste do tipo "Fall" recolhe menos dados dos sensores em comparação aos testes do tipo "Normal", visto que, na recolha dos dados do tipo "Fall", foi tido o cuidado de iniciar a recolha no instante mesmo no início da queda e parar a recolha no fim da mesma, resultando assim, em menos dados recolhidos por cada teste.

Através de uma análise em maior detalhe para as 9 *labels* definidas inicialmente, é possível verificar pela Figura 4.2a que as que contêm maior número de testes são *WAL* (andar a pé), *FOL* (Cair para a frente) e *STD* (estar de pé). Isto deve-se ao facto de, numa segunda fase terem sido recolhidos mais dados para compensar a não utilização do *dataset* externo.

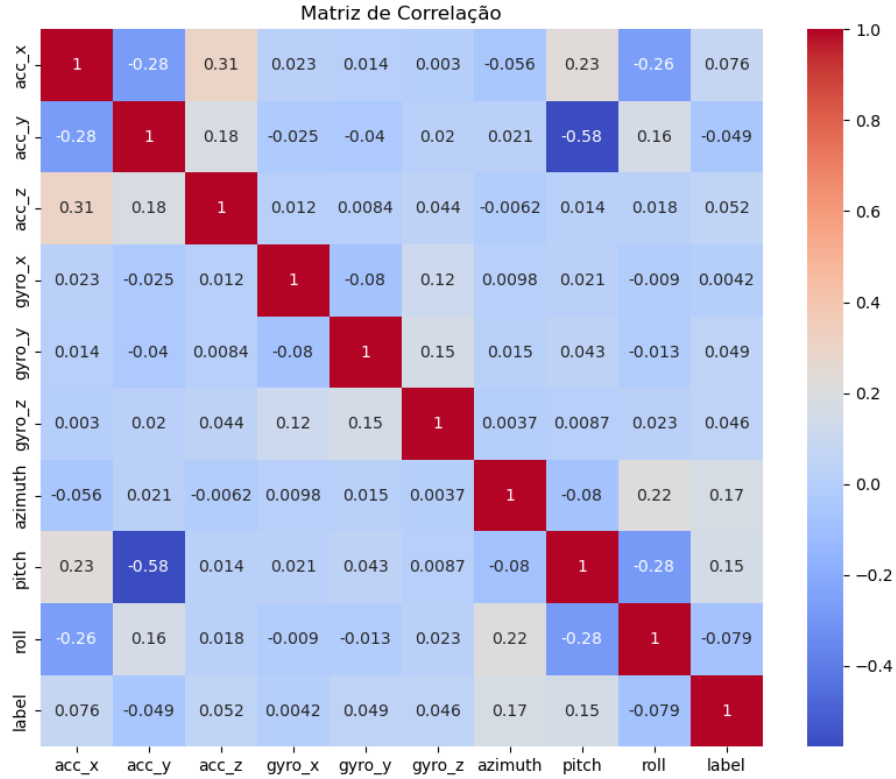


Figura 4.3: Matriz de correlação

Quanto à análise da matriz de correlação, não foram verificadas grandes correlações, excetuando o caso de *acc_y* com *pitch*, que é um caso relativamente expectável, uma vez que os dados *azimuth*, *pitch* e *roll* são inferidos através dos valores do acelerómetro e magnetómetro. Apesar de ser expectável verificar alguma correlação de algum dos atributos com a 'label', esta correlação acaba por não acontecer, e isto pode ser explicado pelo facto de um *sample* apenas não ser capaz de evidenciar o movimento.

4.3 Arquitetura do Modelo concebido

Nesta fase, o grupo deparou-se com a adversidade de uma linha do *dataset* (com um valor do acelerómetro, giroscópio e orientação) não possuir propriamente informação suficiente para o modelo prever o movimento. Era necessário ter um conjunto de linhas, ou seja, uma sequência dos vários valores no tempo, para o modelo conseguir extrair informação relevante para o objetivo proposto.

Assim, implementou-se uma técnica de *sliding window* (janela deslizante), que consiste no

processamento de dados sequencias, permitindo analisar sequências de dados ao longo do tempo, para extrair características relevantes e possibilitar a inferência do movimento, através da formação de janelas deslizantes.

Uma janela deslizante é caracterizada por valores como tamanho da janela e tamanho do salto, pelo que se considerou que os melhores valores seriam:

- Tamanho da janela: 30
- Tamanho do salto: 10

Isto cria uma sobreposição entre as janelas adjacentes, pois cada janela compartilha parte dos dados com a janela anterior.

No que diz respeito aos modelos de *machine learning*, estes foram implementados de modo a classificar os dados recolhidos como 'Fall' ou 'Normal'. Após alguns testes, chegou-se à conclusão que o modelo com melhor accuracy (85%) seria uma rede neuronal convolucional, com 25 épocas, learning rate de 0.001 e com as seguintes camadas:

Model: "sequential"

Layer (type)	Output Shape	Param #
conv2d (Conv2D)	(None, 29, 8, 16)	80
dropout (Dropout)	(None, 29, 8, 16)	0
conv2d_1 (Conv2D)	(None, 28, 7, 32)	2080
dropout_1 (Dropout)	(None, 28, 7, 32)	0
flatten (Flatten)	(None, 6272)	0
dense (Dense)	(None, 64)	401472
dropout_2 (Dropout)	(None, 64)	0
dense_1 (Dense)	(None, 2)	130

=====

Total params: 403,762
Trainable params: 403,762
Non-trainable params: 0

Figura 4.4: Resumo da Arquitetura do modelo

Capítulo 5

Aplicação Final

Já na fase de desenvolvimento do produto final, decidiu-se desenvolver uma aplicação em *Android Studio*, que estivesse constantemente a coletar dados até que seja detetada uma queda e, por consequente, ligar para a linha de emergência. Aquando da deteção de uma queda, a aplicação ativa um *timer* para permitir ao utilizador cancelar a chamada de emergência, sendo que em caso contrário, a aplicação assume que o utilizador precisa realmente de ajuda e efetua automaticamente a chamada.

Para isto, foi necessário integrar o modelo *machine learning* na aplicação no formato Tensor-Flow Lite (*.tflite*)

A aplicação tem a seguinte ordem de execução:

1. Como é possível verificar pela Figura 5.1, a app começa por apresentar a informação de que está a recolher dados para prever o movimento.

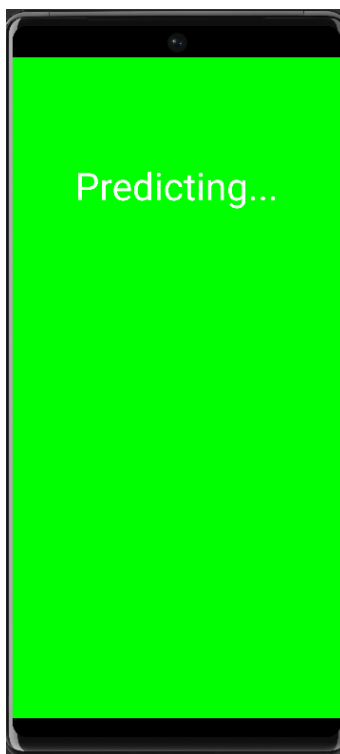
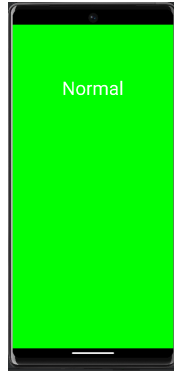
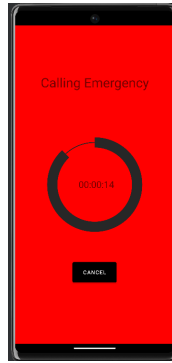


Figura 5.1: Menu Inicial

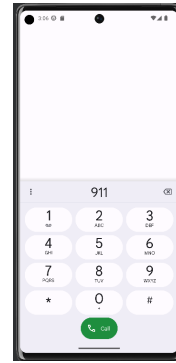
2. Depois de recolher dados suficientes (30 *samples*), o modelo prevê e se der como resultado '*Normal*' aparece como na Figura 5.2a. Se der '*Fall*', a *app* apresenta o *timer* (Figura 5.2b) e, no fim desse *timer*, se o utilizador não cancelar, liga para a linha de emergência (Figura 5.2c).



(a) Predict Normal



(b) Predict Fall - Timer



(c) Chamada de emergência

Figura 5.2

3. Tanto na situação do fim da chamada ou do utilizador cancelar a chamada, a *app* volta ao passo 1. para continuar a recolha de dados.

Capítulo 6

Análise crítica aos Resultados obtidos

Nesta fase, começou-se por fazer uma análise crítica aos resultados obtidos do modelo de *machine learning* desenvolvido.

Os dados de teste foram utilizados também como dados de validação, tendo sido possível obter uma *accuracy* de 85% nestes, como é possível verificar no gráfico abaixo.

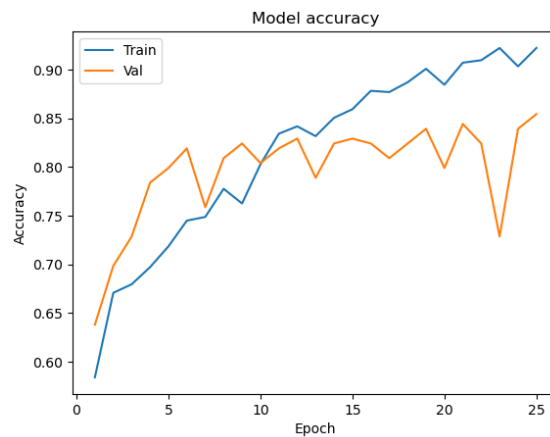


Figura 6.1: Curva de Aprendizagem

Analisando a Figura 6.2, é possível concluir que o modelo previu 58 quedas em 73, errando assim em 21%. Por outro lado, o modelo previu em 112 atividades normais em 126, errando 11%.

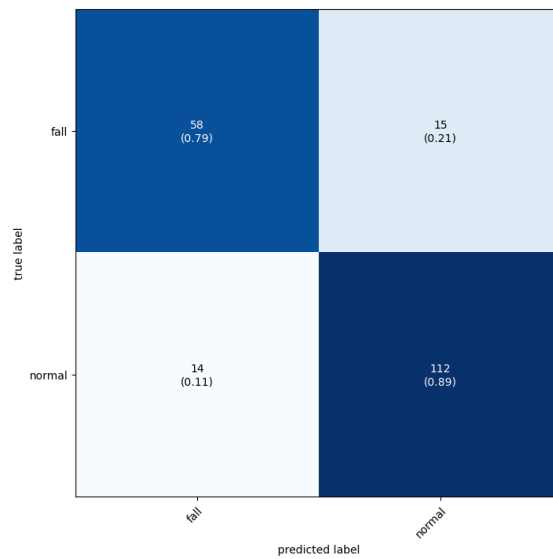


Figura 6.2: Matriz de Confusão

Passando aos testes à eficácia da aplicação final, ao simular os vários movimentos abordados, foi possível verificar que a aplicação mantém uma assertividade e uma consistência relativamente elevada na classificação dos acontecimentos, o que revela um aspeto bastante positivo.

Capítulo 7

Conclusão

A realização do presente trabalho prático permitiu consolidar e aprofundar os conhecimentos abordados ao longo do semestre, nomeadamente na área de utilização de sensores, assim como no desenvolvimento da aplicação *Android*. Permitiu também desenvolver competências como as utilizadas no manuseamento de redes neuronais e com o pipeline que envolveu a recolha através dos sensores dos dispositivos móveis, tratamento e utilização dos dados.

Considera-se o resultado final bastante satisfatório, no sentido em que, para além de concretizar o objetivo inicial, fá-lo com uma fiabilidade relativamente alta. Apesar de tudo, considera-se que a presença de mais dados seria uma vantagem para a precisão do modelo, conforme tentado sem êxito com um *dataset* externo.

Em suma, considera-se que o resultado é bastante positivo, cumprindo os objetivos propostos com clareza, e que, com algumas melhorias poderá ser algo útil e frequentemente utilizado pela população a correr em background nos seus smartphones.